

II

Советско-Индийский симпозиум

Soviet-Indian Symposium

ПУТЕВОДИТЕЛЬ ЭКСКУРСИЙ

GUIDE-BOOK OF EXCURSIONS

(Иллюстрации)

(Figures)

ТБИЛИСИ — 1975

TBILISI—1975

II

Советско-Индийский симпозиум

Soviet-Indian Symposium

ПУТЕВОДИТЕЛЬ ЭКСКУРСИЙ

GUIDE-BOOK OF EXCURSIONS

(Иллюстрации)

(Figures)

1976

ТБИЛИСИ — 1975

TBILISI—1975

Складчатая система Южного склона б. Кавказа Антиклиорий Главного Кавказского хребта

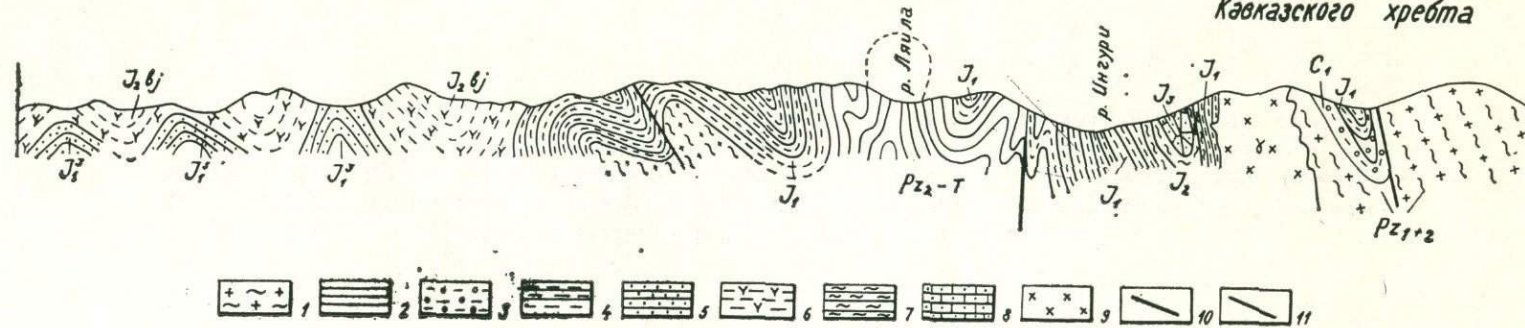


Рис. 2. Геологический разрез (по П. Д. Гамкrelidze).
 1—нижний и средний палеозой (кристаллическое ядро), 2—средний палеозой-триас (дизская серия), 3—верхний карбон, 4—лейас, 5—верхний лейас, 6—байос, 7—средняя юра, 8—верхняя юра, 9—граниты постбайосские, 10—глубинный разлом, 11—надвиг.

Fig. 2. Geological section (after P. D. Gamkrelidze).
 1—Lower and Middle Paleozoic (crystalline core), 2—Middle Paleozoic—Triassic (Dizi series), 3—Upper Carboniferous, 4—Lias, 5—Upper Lias, 6—Bajocian, 7—Middle Jurassic, 8—Upper Jurassic, 9—Postbajocian granites, 10—deep fault, 11—thrust,

Ю

С

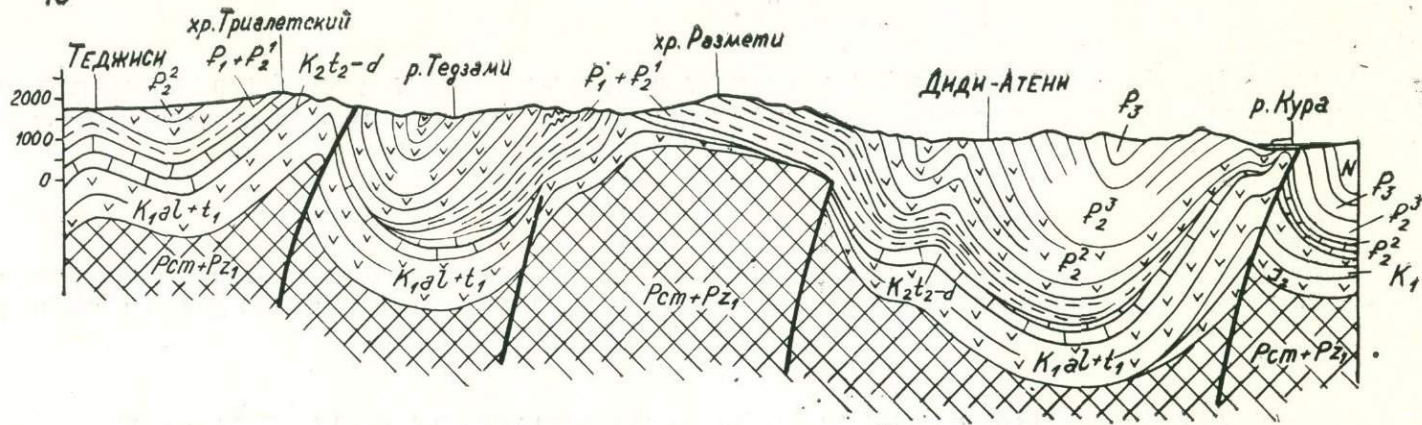


Рис. 3. Геологический разрез (по И. П. Гамкрелидзе).

Pcm+Pz₁—докембрий и нижний палеозой (кристаллический фундамент), J₂—средняя юра (байосская вулканоген-ная свита), K₁al—K₂t₁—альб-нижний турон (вулканогенные породы), K₂t₂-d—верхний турон-даний (известняковая толща), P₁—P₁²—палеоцен-нижний эоцен (боржомский флиш), P₂²—средний эоцен (вулканогенная толща), P₃²—верхний эоцен (терригенная толща), P₃—олигоцен (глинисто-песчанистая толща), N—неогеновая терригенная толща.

Fig. 3. Geological section (after I. P. Gamkrelidze).

Pcm+Pz₁—Precambrian and Lower Paleozoic (crystalline basement), J₂—Middle Jurassic (Bajocian volcanic suite), K₁al-K₂t₁—Albian—Lower Turonian (volcanic rocks), K₂t₂-d—Upper Turonian—Danian (Limestone series), P₂²—Middle Eocene (volcanic series), P₃²—Upper Eocene (terrigenic series), P₃—Oligocene (argillo—arenaceous series), N—Neogene (terrigenic series).

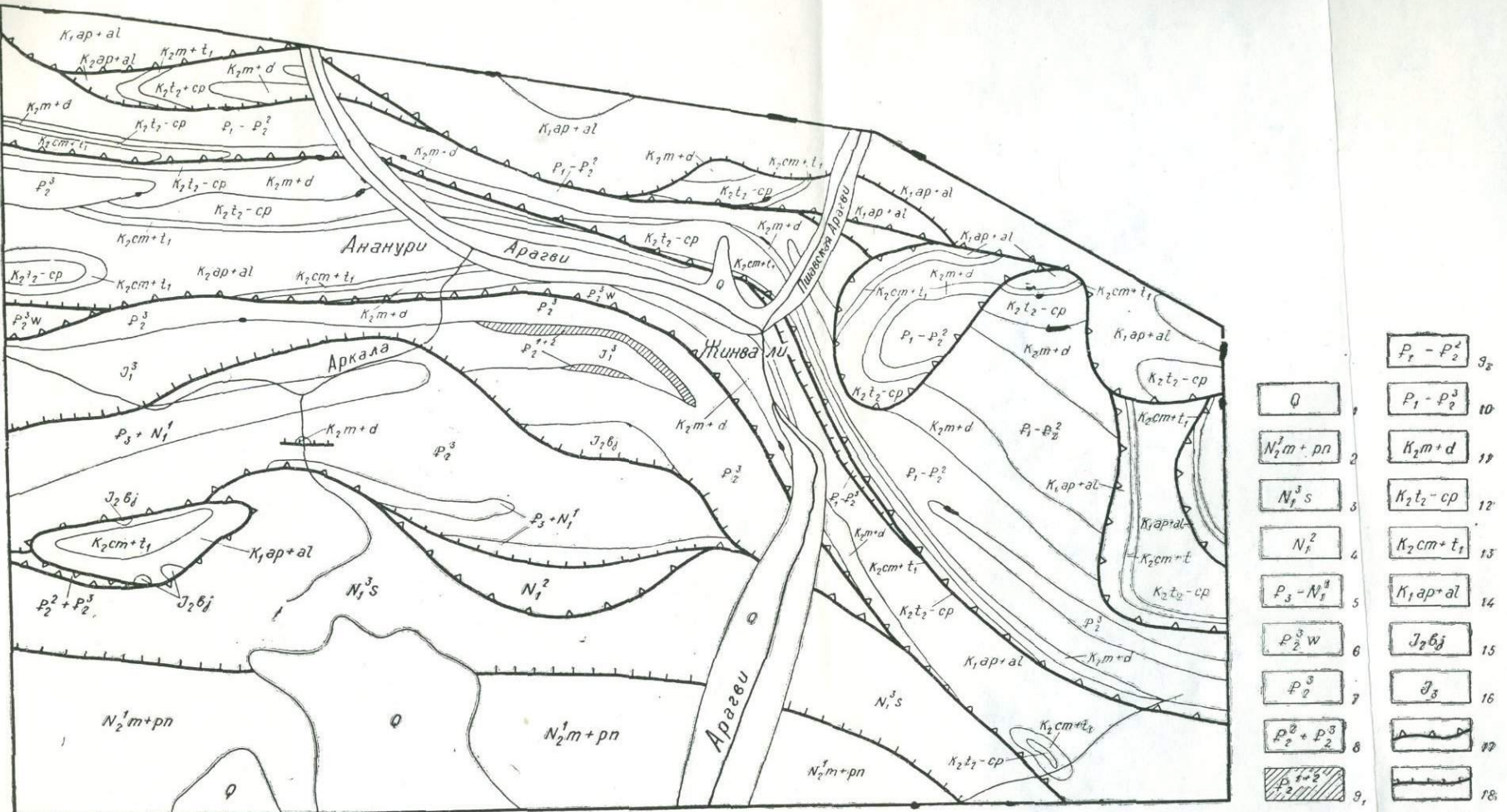


Рис. 7. Схема геологического строения Жинвальско-Павлеурского узла (по П. Д. Гамкрелидзе, Д. Н. Канделаки).
 1—четвертичные отложения, 2—душетская свита, 3—сармат, 4—средний миоцен, 5—олигоцен-нижний миоцен, 6—верхний
 эоцен (дикий флиш), 7—верхний эоцен (нормально-осадочная толща), 8—средний и верхний эоцен (мергелистая фация с.
 Аргуни), 9₁—нижний и средний эоцен (известняки и мергели—аркольская фация), 9₂—шахветильская и квакеврисхевская
 свиты, 10—пaleоцен-эоцен (без подразделения), 11—орбитоидная и надорбитоидная свиты, 12—свиты Маргалитисклде, Эш-
 макисхеви и Джорчи, 13—укугмартийская и ананурская свиты, 14—тетрахевская, навтисхевская, дгнальская и павлеурская
 свиты, 15—вулканогенная свита баойса, 16—сорская свита, 17—надвиги (подошва шарьяжей), 18—надвиги (подошва чешуй).

Fig. 7. Geological sketch-map of the Zhinvali-Pavleuri knot (after P. D. Gamkrelidze, D. N. Kandelaki).
 1—Quaternary sediments, 2—Dushethi suite, 3—Sarmatian, 4—Middle Miocene. 5—Oligocene-Lower Miocene, 6—Upper Eocene
 (wild flysch), 7—Upper Eocene (normal sedimentary series), 8—Middle and Upper Miocene (Arguni marly facies), 9₁—Lower
 and Middle Eocene (limestones and marls—Arkala facies), 9₂—Shakhvetili and Kvakevriskheli suite, 10—Paleocene-Eocene (wi-
 thout subdivision), 11—Orbitoid and Supraorbitoid suites, 12—Margalitiskheli, Eshmakiskheli and Djorchi suites, 13—Ukughmarthi
 and Ananuri suites, 14—Thethrakhevi, Navthiskheli, Dgnali and Pavleuri suites, 15—Bajocian volcanic suite, 16—Sori suite,
 17—thrusts (overthrust plane), 18—thrusts (scale plane).

S

N

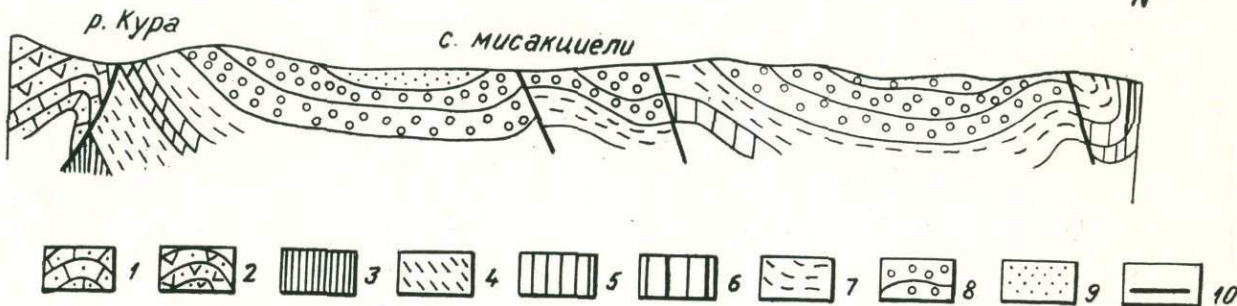


Рис. 6. Геологический разрез (по Д. А. Булейшвили).
1—нижний эоцен, 2—средний эоцен, 3—верхний эоцен, 4—олигоцен-нижний миоцен, 5—средний миоцен, 6—нижний и средний сармат, 7—верхний сармат, 8—плиоцен, 9—четвертичные отложения, 10—надвиги и взбросы.

Fig. 6. Geological section (after D. A. Buleishvili).
1—Lower Eocene, 2—Middle Eocene, 3—Upper Eocene, 4—Oligocene—Lower Miocene, 5—Middle Miocene, 6—Lower and Middle Sarmatian, 7—Upper Sarmatian, 8—Pliocene, 9—Quaternary sediments, 10—thrusts and upthrusts,

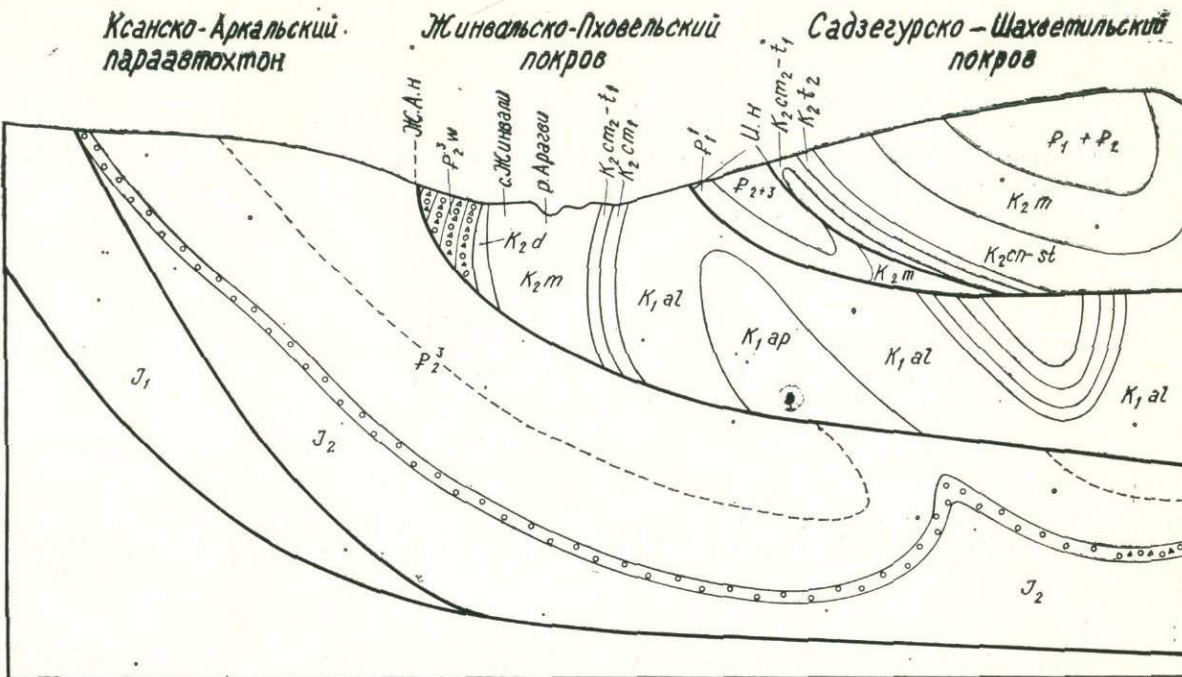


Рис. 8. Геологический разрез (по П. Д. Гамкрелидзе).
 I₁—сорская свита, I₂—байос (вулканогенная свита), K₁ар—тетрахевская свита, K₁ал—навтихевская свита, K₂см₁—укугмартианская свита, K₂см₂—t₁—ананурская свита, K₂t₂—свита маргалитисклде, K₂сп—ст—ешмакисхевская свита, K₂м—орбитоидная свита, K₂d—надорбитоидная свита, P₁¹—шахветильская свита, P₁+P₂—шахветильская и квакеврисхевская свиты, P₂₊₃—квакеврисхевская и ильдоканская свиты, P₂³W—дикий флиш, P₂³—нормально-осадочная свита, Ж. А. н.—Жинвальско-Ананурский надвиг, И. н.—Ильдоканский надвиг.

Fig. 8. Geological section (afer P. D. Gamkrelidze).
 J₁—Sori suite, J₂—Bajocian volcanic suite, K₁ap—Thethrakhevi suite, K₁al—Navthiskhevi suite, K₂cm₁—Ukughmarthi suite, K₂cm₂—t₁—Ananuri suite, K₂t₂—Margalitisklde suite, K₂sp—st—Eshmakiskhevi suite, K₂m—Orbitoid suite, K₂d—Supraorbitoid suite, P₁¹—Shakhvetili suite, P₁+P₂—Shakhvetili and Kvakevriskhevi suites, P₂₊₃—Kvakevriskhevi and Ildokani suites, P₂³N—wild flysch, P₂³—Normal-sedimentary suite, Zh. A. th.—Zhinvali—Ananuri thrust, I. n.—Ildokani thrust.

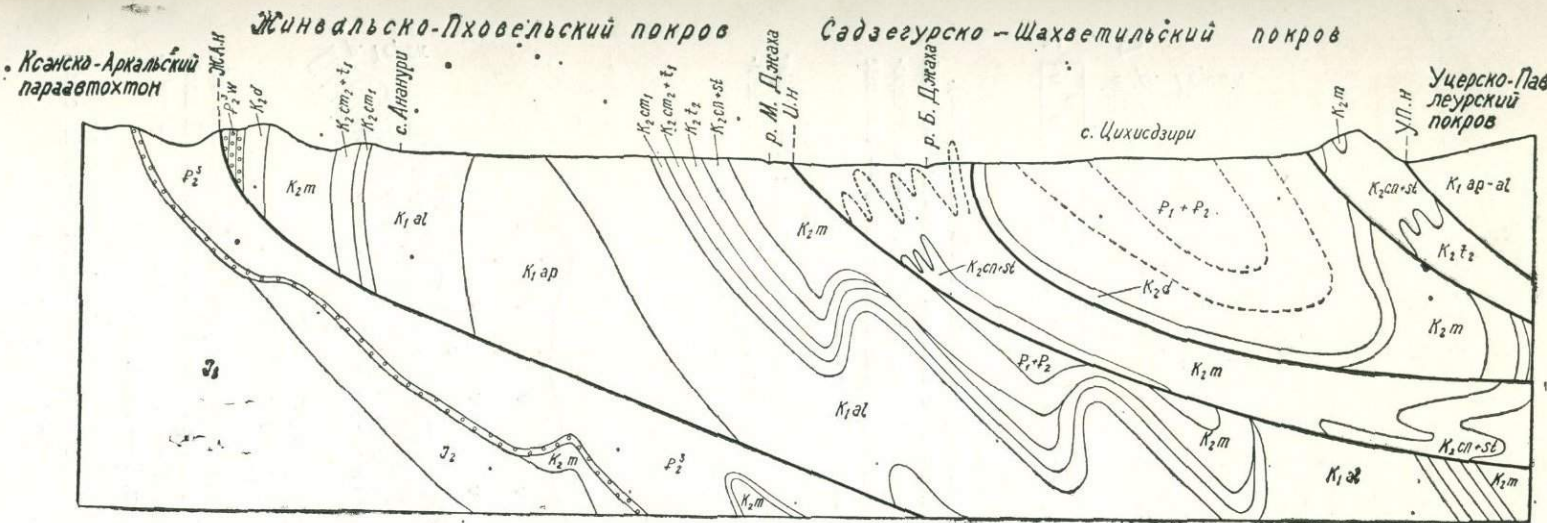


Рис. 9. Геологический разрез (по П. Д. Гамкрелидзе).

J_1 —сорская свита, J_2 —вулканогенная свита, $K_1\text{ар}$ —тетрахевская свита, $K_1\text{ар+ал}$ —дгнальская и павлеурская свиты, $K_1\text{ал}$ —навтишевская свита, $K_2\text{см}_1$ —укугмартиская свита, $K_2\text{см}_2-t_1$ —ананурская свита, K_2t_2 —свита маргалитисклде, $K_2\text{сп-ст}$ —эшмакисхевская свита, $K_2\text{м}$ —орбитоидная свита, $K_2\text{д}$ —надорбитоидная свита, P_1+P_2 —шахветильская и квакеврисхевская свиты, $P_2^3\text{w}$ —дикий флиш, $P_2^3\text{n}$ —нормально-осадочная свита, Ж. А. н.—Жинвальско-Ананурский надвиг, И. н.—Ильдоканский надвиг, П. н.—Павлеурский надвиг.

Fig. 9. Geological section (after P. D. Gamkrelidze)

J_1 —Sori suite, J_2 —volcanic suite, $K_1\text{ap}$ —Thethrakhevi suite, $K_1\text{ap+al}$ —Dgnali and Pavleuri suites, $K_1\text{al}$ —Navth'skhevi suite, $K_2\text{cm}_1$ —Ukughmarthi suite, $K_2\text{cm}_2-t_1$ —Ananuri suite, A_2t_2 —Margalitisklde suite, $K_2\text{cn-st}$ —Eshmakiskhevi suite, $K_2\text{м}$ —Orbitiod suite, $K_2\text{д}$ —Supraorbitoid suite, P_1+P_2 —Shakhveticili and Kvakevriskhevi suites, $P_2^3\text{w}$ —wild flysch, $P_2^3\text{n}$ —normal-sedimentary suite, Zh. A. Th.—Zhinvali—Ananuri thrust, I. Th.—Ildokani thrust, P. Th.—Pavleuri thrust.

3

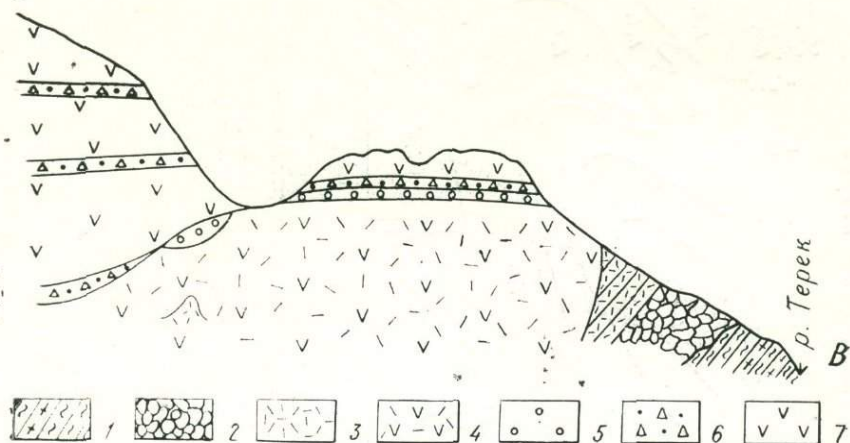


Рис. 10. Схематический геологический разрез (по Н. М. Дзоценидзе). Верхний лейас: 1 — глинистые сланцы с жилами диабазов; верхний плейстоцен: 2 — валунно-галечные отложения, 3 — туфы, 4 — брекчированная лава; 5 — аллювиально-пролювиальные отложения, 6 — лавовые брекчии и шлаки, 7 — лавы.

Fig. 10. Schematic geological section (after N. M. Dzotsenidze).

Upper Lias: 1—clay shales with diabase veins; Upper Pleistocene: 2—boulder-pebble sediments, 3—tuffs, 4—brecciated lava, 5—alluvial—proluvial sediments, 6—lava breccias and slags, 7—lavas.

3

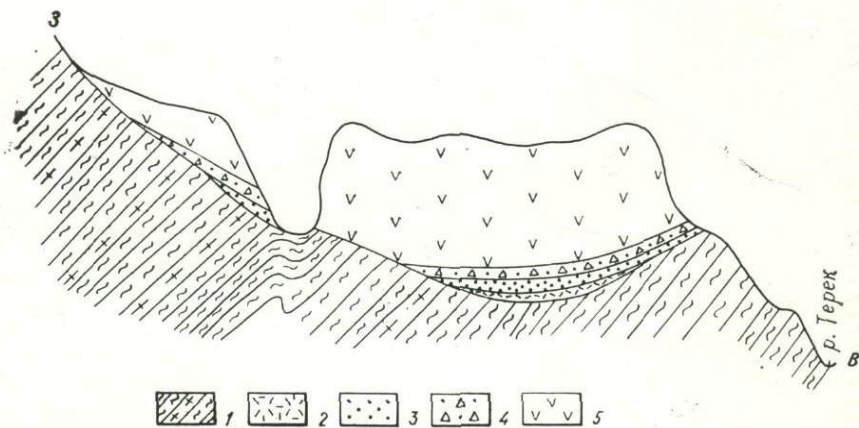


Рис. 11. Схематический геологический разрез (по Н. М. Дзоценидзе). Средний лейас: 1 — аспидные сланцы с жилами диабазов; верхний плейстоцен: 2 — вулканический пепел, 3 — вулканический песок, 4 — туфобрекчии, 5 — лавы.

Fig. 11. Schematic geological section (after N. M. Dzotsenidze).

Middle Lias: 1—slates with diabase veins; Upper Pleistocene: 2—volcanic ash, 3—volcanic sand, 4—tuff-breccias, 5—lavas.

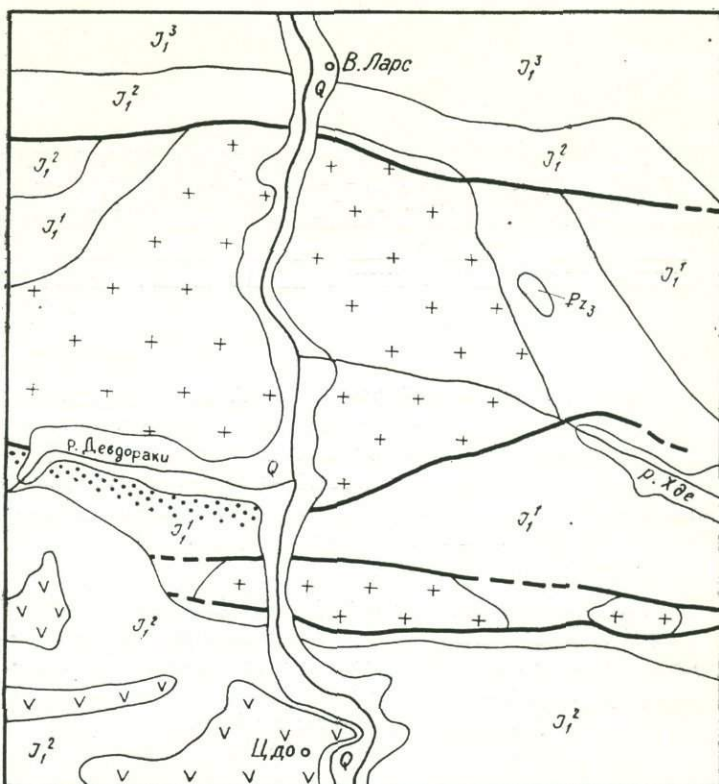


Рис. 12. Геологическая схема Дарьльского ущелья (по Г. А. Чихрадзе).
 1 — аллювиальные отложения, 2 — джерахская свита, 3 — циклаурская свита, 4 — кистинская свита, 5 — графито-андалузитовые сланцы, 6 — хлоритоидные кварциты и гравелиты, 7 — андезитовые лавы Казбега, 8 — гранитоиды, 9 — линия разрыва.

Fig. 12. Geological sketch of the Dariali gorge (after G. A. Chikhradze).
 1—alluvial deposits, 2—Djerakh suite, 3—Tsiklauri suite, 4—Kistinka suite, 5—graphite—andalusite schists, 6—chloritoid quartzites and gravelites, 7— andesitic lavas of Kazbek, 8—granitoids, 9—fracture line.

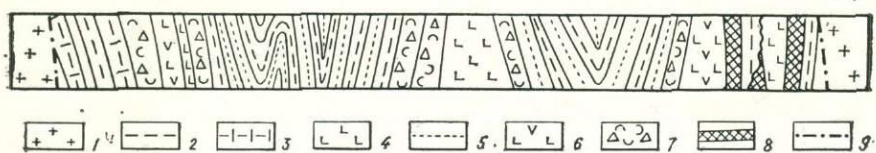


Рис. 13. Геологический разрез (по Г. А. Чихрадзе).

1 — гранитоиды, 2 — аспидные сланцы, 3 — гранито-андалузитовые сланцы, 4 — уралит-лабрадоровый диабаз, 5 — кварциты и кварцевые гравелиты, 6 — альбитовые порфириды, 7 — туфобрекции альбитового порфирита, 8 — кварцевые роговики, 9 — линии разрыва.

Fig. 13. Geological section (after G. A. Chikhradze).

1—granitoids, 2—slates, 3—garnet—andalusite schists, 4—uralitic—labradoritic diabase, 5—quartzites and quartz-gravelites, 6—albite porphyrites, 7—tuff—breccias of albite porphyrites, 8—quartz hornfels, 9—fracture lines.

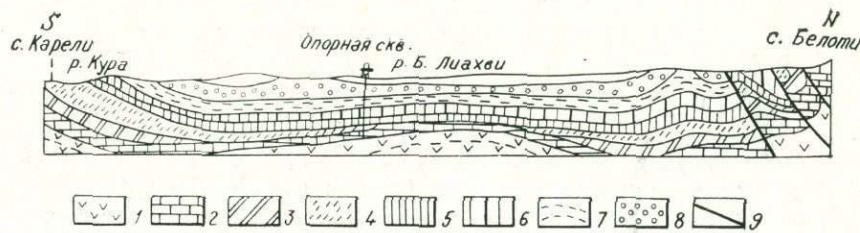


Рис. 14. Геологический разрез (по Д. А. Булейшвили).
1—байос, 2—мел без подразделений, 3—эоцен, 4—олигоцен-нижний миоцен, 5—средний миоцен, 6—нижний и средний сармат, 7—верхний сармат, 8—плиоцен, 9—надвиги и взбросы.

Fig. 14. Geological section (after D. A. Buleishvili).
1.—Bajocian, 2—Cretaceous without subdivision, 3—Eocene, 4—Oligocene—Lower Miocene, 5—Middle Miocene, 6—Lower and Middle Sarmatian, 7—Upper Sarmatian, 8—Pliocene, 9—thrusts and upthrusts.

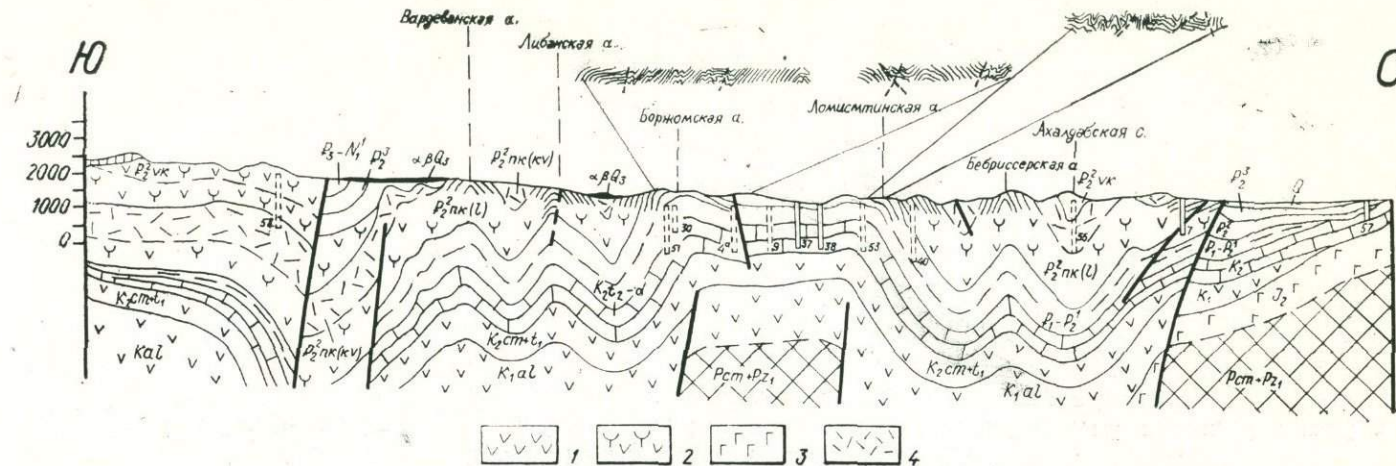


Рис. 15. Геологический разрез (по И. П. Гамкрелидзе).

Pcm+Pz₁—докембрий и нижний палеозой (кристаллический фундамент), J₂—средняя юра (байосская вулканогенная свита?), K₁al—альб, K₂cm—t₁—сеноман-нижний турон, K₂t₂—d—верхний турон-даний, P₁—P₂¹—палеоцен—нижний эоцен, P₂²nk—средний эоцен (нижний комплекс), P₂²nk(kv)—средний эоцен, нижний комплекс (квабисхевская свита), P₂²vk—средний эоцен (верхний комплекс), P₃³—верхний эоцен, P₃-N₁¹—олигоцен-нижний миоцен, βN₂-Q—верхнеплиоценово-четвертичные лавы, αβQ₃—верхнечетвертичные лавы. 1—породы преимущественно основного состава, 2—субщелочные породы, 3—породы преимущественно среднего состава, 4—дифференцированная серия пород.

Fig. 15. Geological section (after I. P. Gamkrelidze).

Pcm+Pz₁—Precambrian and Lower Paleozoic (crystalline basement), J₂—Middle Jurassic (Bajocian volcanic suite?), K₁al—Albian, K₂cm—t₁—Cenomanian—Lower Turonian, K₂t₂—d—Upper Turonian—Danian, P₁—P₂¹—Paleocene—Lower Eocene, P₂²nk—Middle Eocene (Lower complex), P₂²nk (kv)—Middle Eocene—Lower complex (Kvabiskhevi suite), P₂²vk — Middle Eocene (Upper complex), P₃³—Upper Eocene, P₃+N₁¹—Oligocene—Lower Miocene, βN₂-Q—Upper Pliocene—Quaternary lavas, αβQ₃—Upper Quaternary lavas, 1—predominantly basic rocks, 2—subalkaline rocks, 3—predominantly intermediate rocks, 4—differentiated series of rocks,

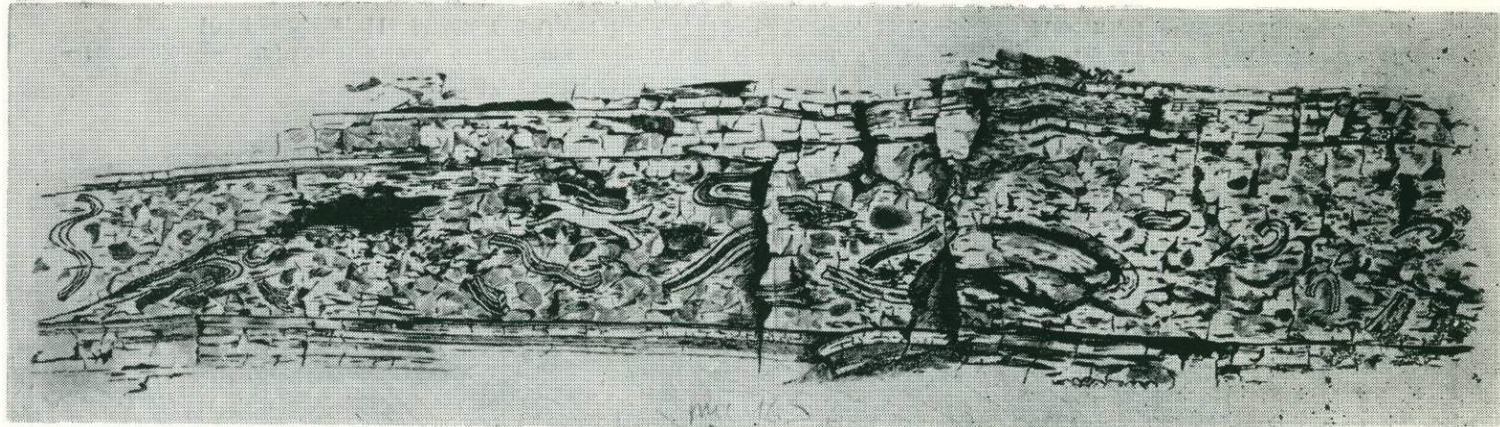


Рис. 16. Зарисовка обнажения (по Г. А. Микадзе).
Слои туфа с включениями мелкоскладчатых перемятых обломков слоистых мергелей и аргиллитов.

Fig. 16. Sketch of outcrop (after G. A. Mikadze).
Tuff layers with inclusion of finely folded distorted fragments of thin-bedded marls and argillites.

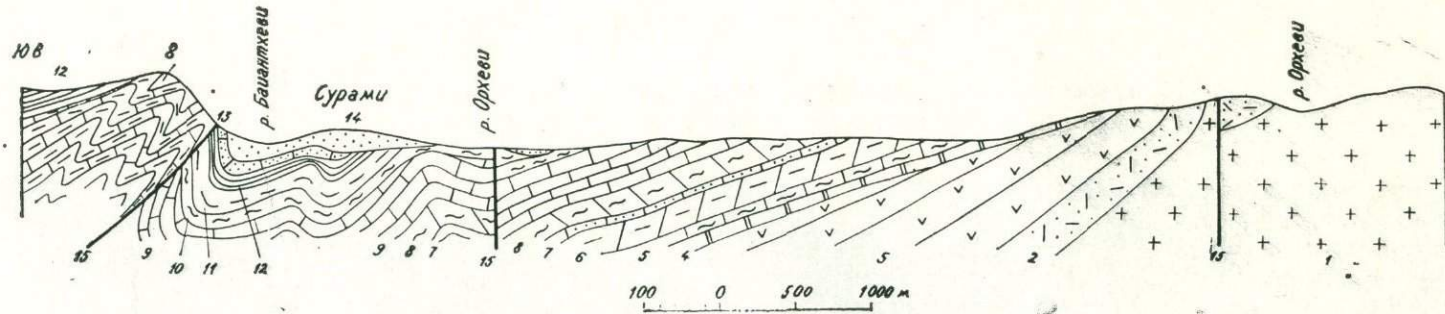


Рис. 17. Геологический разрез (по Г. П. Лобжанидзе.)
 1—палеозой, 2—лейас, 3—байос, 4—баррем, 5—апт, 6—альб, 7—сеноман, 8—турон, 9—коньяк-даний, 10—па-
 леоцен, 11—средний и верхний эоцен, 12—олигоцен, 13, 14—средний миоцен, 15—разрывы.

Fig. 17. Geological section (after G. P. Lobzhanidze).
 1—Paleozoic, 2—Lias, 3—Bajocian, 4—Barremian, 5—Aptian, 6—Albian, 7—Cenomanian, 8—Turonian, 9—Koniacian—Danian,
 10—Paleocene, 11—Middle and Upper Eocene, 12—Oligocene, 13,14—Middle Miocene, 15—fractures.

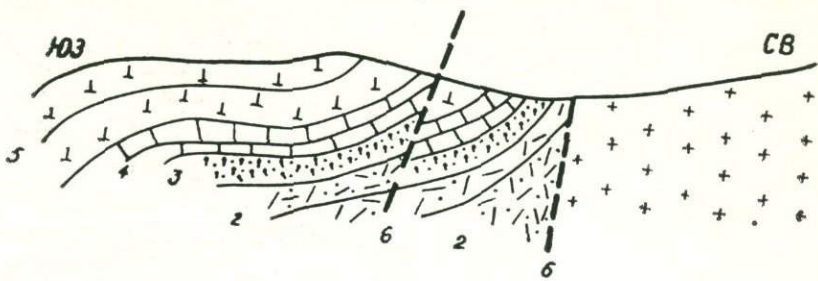


Рис. 18. Геологический разрез (по П. Д. Гамкрелидзе).

1 — кристаллический массив, палеозой, 2 — нижние туффиты, нижний лейас, 3 — конгломераты, кварцевые и слюдистые песчаники, синемор, 4 — красные известняки, средний лейас и низы верхнего лейаса, 5 — порфиритовая свита байоса, 6 — разрывы.

Fig. 18. Geological section (after P. D. Gamkrelidze).

1—Crystalline massif, Paleozoic, 2—Lower tuffites, Lower Lias, 3—conglomerates, quartz and mica sandstones, Sinemurian, 4—red limestones, Middle Lias and lower parts of Upper Lias, 5—Bajocian porphyritic suite, 6—fractures.

Юрские отложения
сел. Шроша

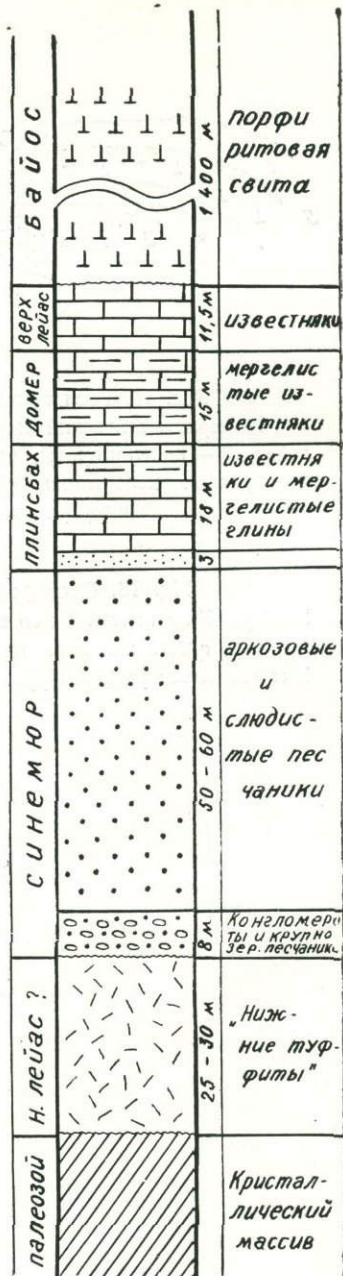


Рис. 19. Стратиграфический разрез юрских отложений села Шроша.

Fig. 19. Stratigraphic section of Jurassic deposits of Shrosha



Фото 1. Правый склон ущ. Арагви у села Араниси. Экзотическая глыба верхнеюрских известняков в верхнеэоценовых отложениях.

Photo 1. The right slope of r. Aragvi, near the village Aranisi: the Upper Jurassic exotic limestone block in the Upper Eocene deposits.

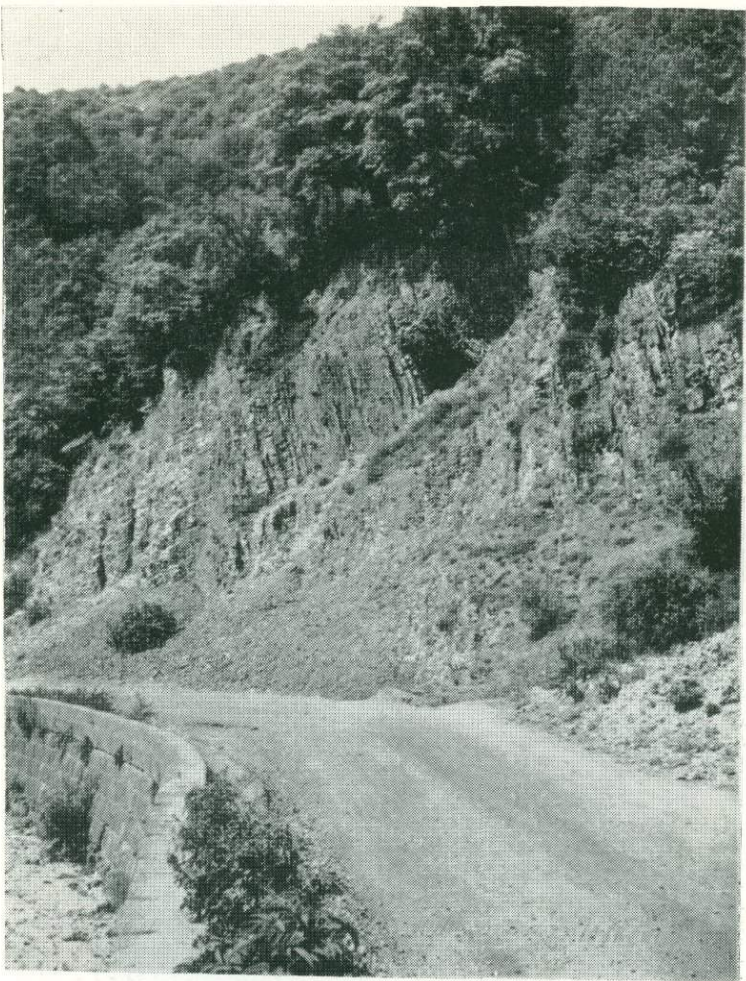


Фото 2. Обнажение ананурской свиты в ущ. р. Аркала.

Photo 2. The outcrop of the Ananuri suite in the r. Arkala gorge.



Фото 3. Трансгрессивное налегание шахветильской свиты палеоценена на босельскую свиту маастрихта в ущ. р. Саканапесхеви (левый приток р. Арагви).

Proto 3. The transgressive superposition of the Paleocene Shakhvetili suite on the Maestrichtian Boseli suite in the r. Sakanaphiskhevi gorge (left tributary of Aragvi).

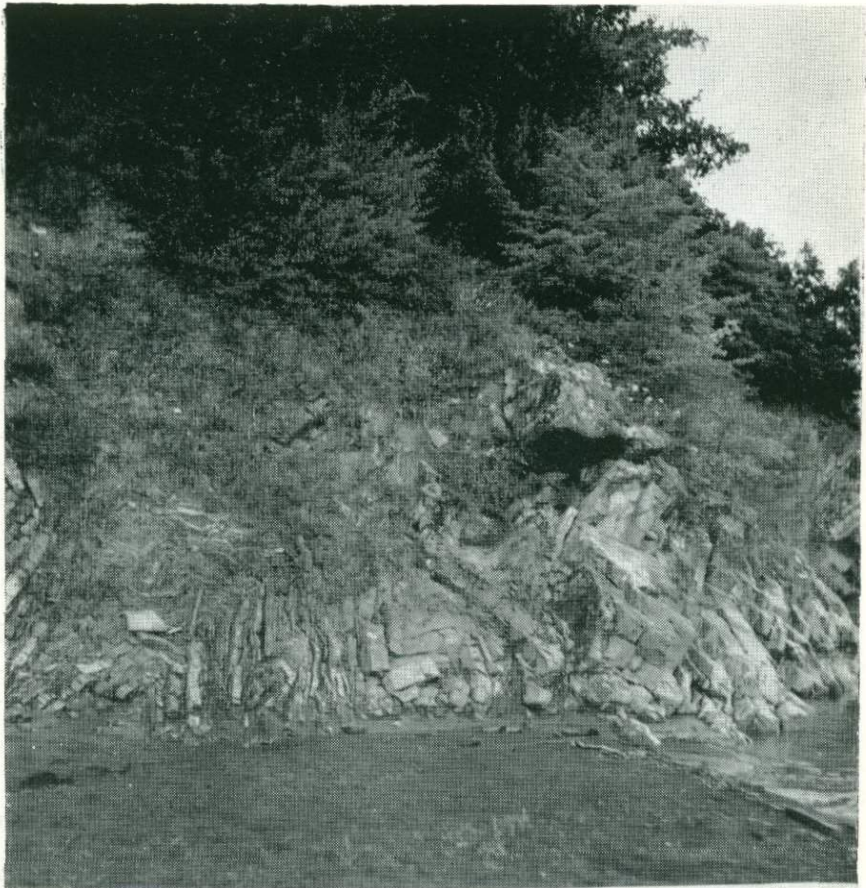


Фото 4. Мелкие складки в орбитоидной сuite маастрихта на левом склоне р. Арагви, напротив села Ананури.

Photo 4. Small folds in the Maestrichtian Orbitoid suite on the left slope of Aragvi, opposite the village Ananuri.



Фото 5. То же, деталь.
Photo 5. The same (detail).

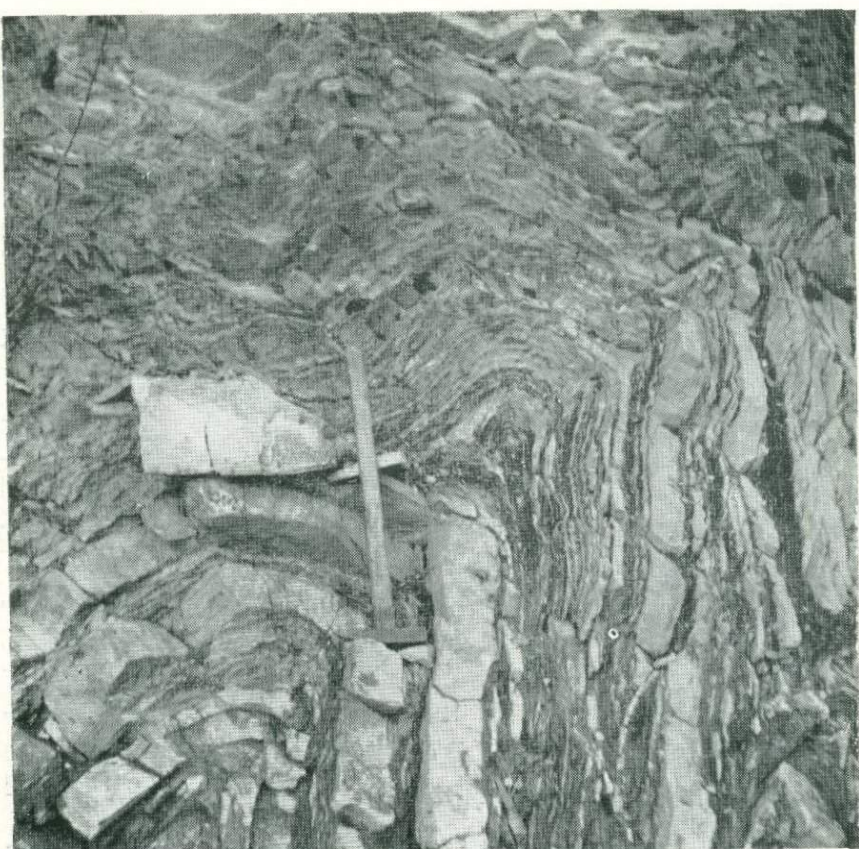


Фото 6. То же; деталь.
Photo 6. The same (detail).

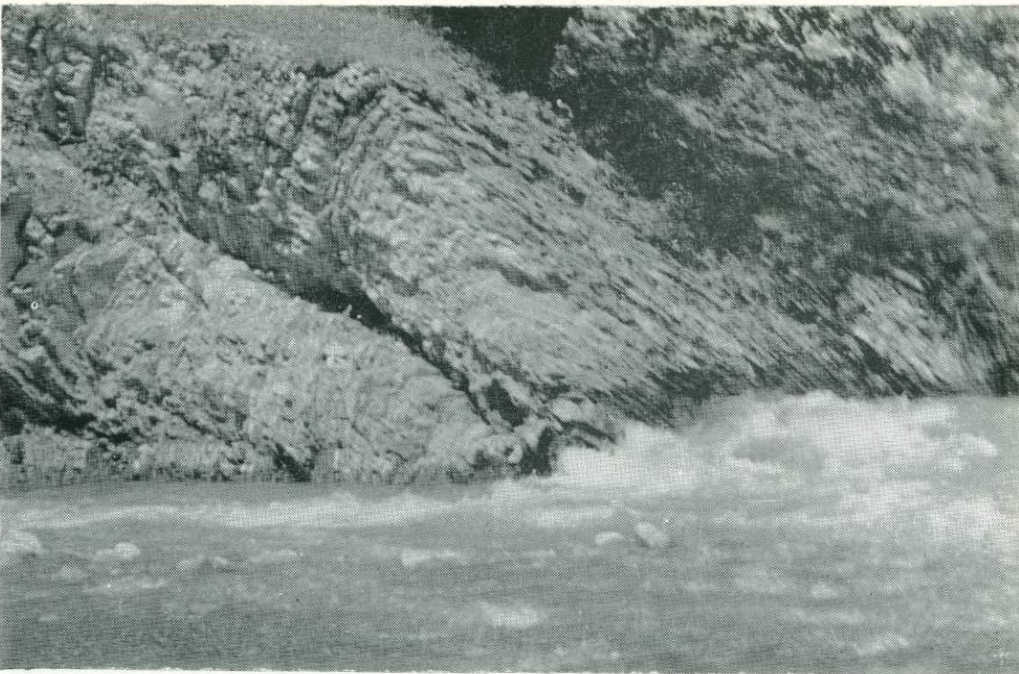


Фото 7. Надзиг орбитоидной свиты маастрихта на среднелоценовые отложения Долошской синклинали в ущ. р. Пшавской Арагви.

Photo 7. Thrust of the Maestrichtian Orbitoid suite on the Middle Eocene deposits of the Doloshi syncline in the r. Pshavis Aragvi valley.

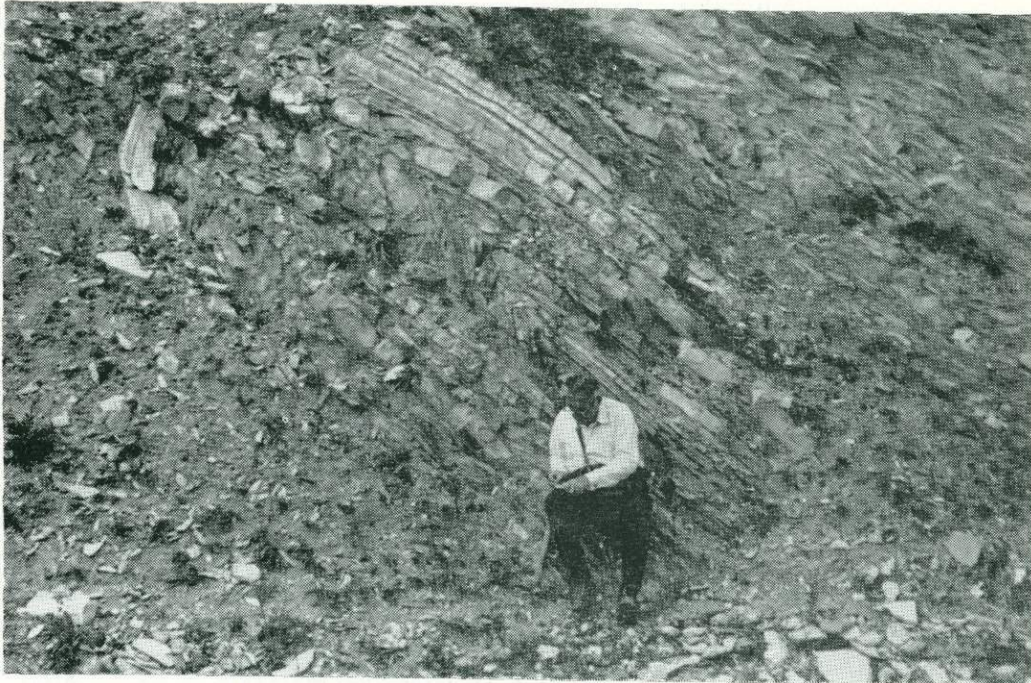


Фото 8. Мелкая складчатость и чешуйчатые надвиги в орбитоидной свите маастрихта за селом Цихисдзирি, в ущ. р. Арагви.

Photo 8. Small folding and imbrications in the Maestrichtian Orbitoid suite beyond the village Tsikhisdziri in the r. Aragvi valley.



Фото 9. Интенсивно дислоцированные известняки цитлианской свиты кампана на правом берегу р. Арагви, близ моста через р. Хандосхеви (правый приток р. Арагви).

Photo 9. Intensively dislocated limestones of the Campanian-Tsithlani suite on the right slope of the r. Aragvi, near the Chandomskhevi bridge (right tributary of Aragvi).



Фото 10. Храм Джвари (храм Креста), расположенный у слияния Куры и Арагви, — один из самых выдающихся памятников древнего грузинского искусства, построен в 586/587—604/605 гг. на том месте, где со временем принятия Грузией христианства в качестве официальной религии, то есть с 30-х годов IV в., возвышался большой деревянный крест. Церковь типа тетраконха. На фасадах рельефы с изображением донаторов и вознесения креста, надписи древнегрузинским письмом. Рядом с большим храмом — часовня, построенная несколько раньше, в середине VI в.

Photo 10. Djvari church (Cross church) situated at the confluence of the Kura and Aragvi—one of the most outstanding monuments of the ancient Georgian art, is built in 586/587 — 604/605 in the place where since Georgia adopted Christianity as official religion i. e. from the thirties of the IV century, a big wooden cross had been erected. The church is of tetraconch type. There are reliefs with the representations of Donators and Christ, ancient Georgian script on the fronts. Next to the church stands a chapel built a little bit earlier in the middle of the VI century.

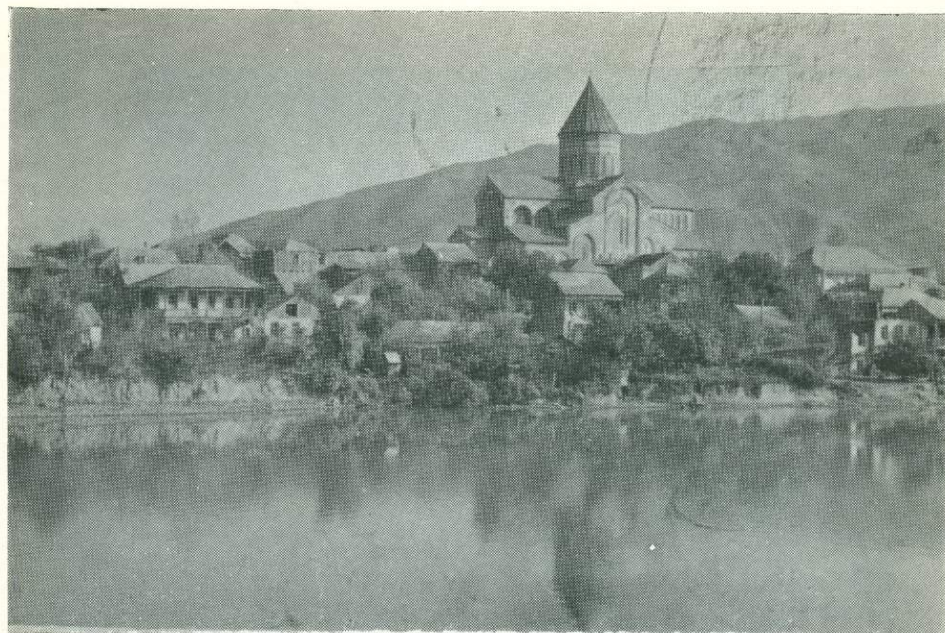


Фото 11. Храм Светицховели — один из характернейших памятников эпохи второго расцвета грузинской средневековой архитектуры (X—XIII вв.), построен зодчим Арсукисдзе в 1010—1029 гг. На фасадах богатая и разнообразная резьба по камню. Внутри храм был сплошь расписан. Древние фрески (предположительно XI в.) сохранились в алтаре, но они переписаны в XIX в. Остальные уцелевшие фрески — XVI—XVIII вв. В храме похоронен царь Вахтанг Горгасали, основатель Тбилиси (V в.) и многие представители царствовавшей в Грузии в VIII—XVIII вв. династии Багратионов, в том числе царь Ираклий II (умер в 1798 г.).

Вокруг храма ограда. В южной ее части сейчас производятся раскопки. Раскрыты остатки древнего дворцового сооружения. В западной части восстановлены ворота XI в., построенные, возможно, тоже зодчим Арсукисдзе; это прекрасный образец гражданской архитектуры эпохи. Основная часть ограды — XVIII в.

Photo 11. Svetitskhoveli cathedral—one of the most characteristic monuments of the period of the second bloom of Georgian Medieval architecture (X—XIII), built by Arsukisdze in 1010—1029. The fronts are decorated by rich varied carvings. The interior was wholly painted. The ancient frescoes (presumably XI century) are preserved in the altar, but they are repainted in the XIX c. The rest of the preserved frescoes belong to the XVI—XVIII centuries. King Vakhtang Gorgasali the founder of Tbilisi (V c.) and many representatives of reigning in Georgia in the VIII—XVIII centuries dynasty of Bagratianos among them Irakli the II (died in 1789) are buried there.

There is an enclosure round the temple. In its south part excavations are carried out now. Remains of the ancient palace structure are found here. In the west part the gate of the XI c. is restored, built probably by Arsukisdze; this is a good example of the civil architecture of that period. The main part of the enclosure belongs to the XVIII c.

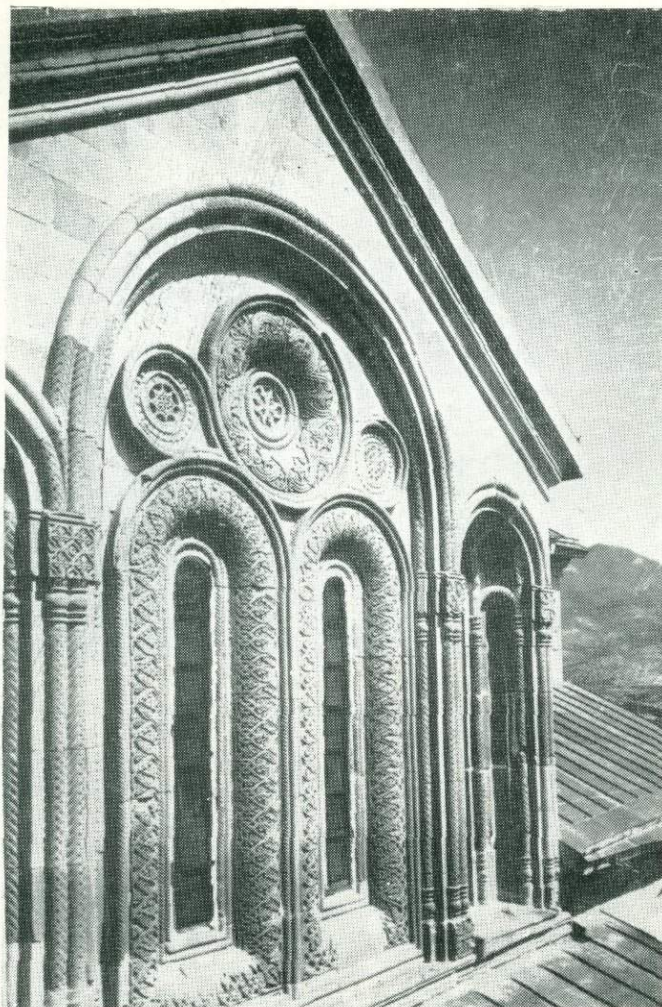


ФОТО 12. Храм Самтавро — другой типичный образец архитектуры первой половины XI в. с хорошо сохранившейся орнаментацией окон. Барaban купола XIII или XIV в., колокольня — XVI—XVII вв.

Photo 12. Samthavro church—another typical example of the XI century first half architecture w.th well [pre-served ornamentation of the windows. The cylinder of the dome belongs to the XIII or XIV c., the belfry—to the XVI—XVII cc.

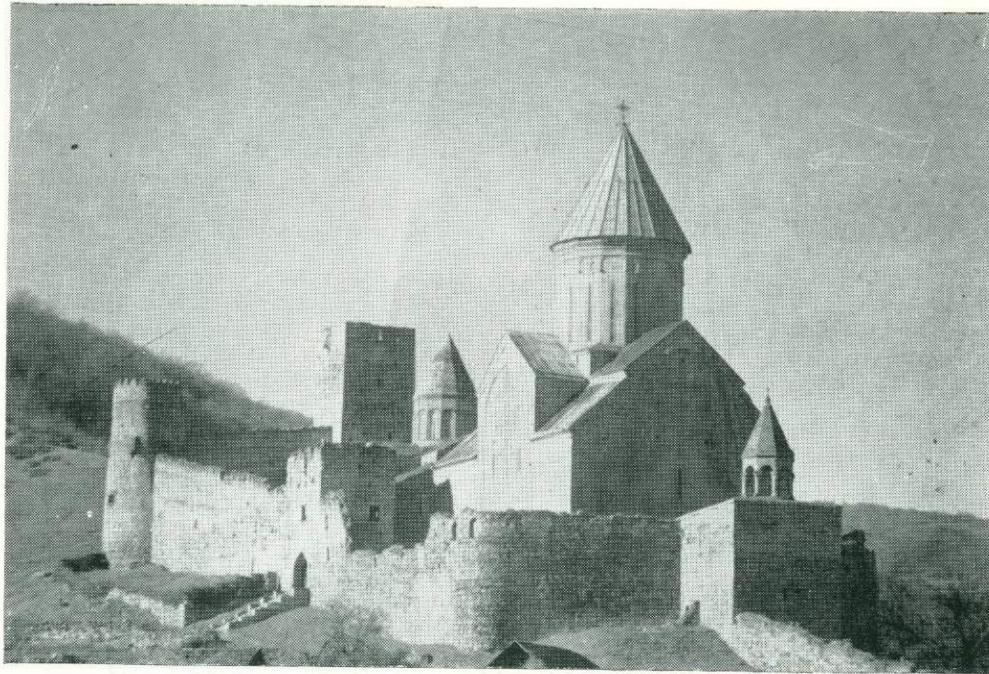


Фото 13. Ананури — крепость арагвских эриставов (крупных феодальных владетелей) XVI—XVII вв. Большой храм, согласно надписи, построен в 1689 г. Малая купольная церковь, по-видимому, тоже XVII в.

Photo 13. Ananuri—the fortress of the Aragvi Eristavis (great pheudal proprietors), XVI—XVII cc. Big church according to script was built in 1689. Little domed church probably belongs to the XVII c.



ФОТО 14.

Photo 14.



Фото 14, 14а. Убиса — средневековый монастырь, церковь IX в., с пристройками XVI—XVII вв., внутри роспись XIV в. — значительный памятник средневековой грузинской живописи. В ограде церкви — трехъярусная башня 1141 г. и более поздняя колокольня.

Photo 14, 14a. Ubisa—medieval monastery, church of the IX c. with the annexes of the XVI—XVII cc., interior painting of the XIV c.; significant monument of medieval Georgian painting. There is a three-story tower of 1141 and a later belfry in the enclosure of the church.

Издательство «Мецниереба», Тбилиси, 380060, ул. Кутузова, 19
Тип. АН Груз. ССР, Тбилиси, 380060, ул. Кутузова, 19

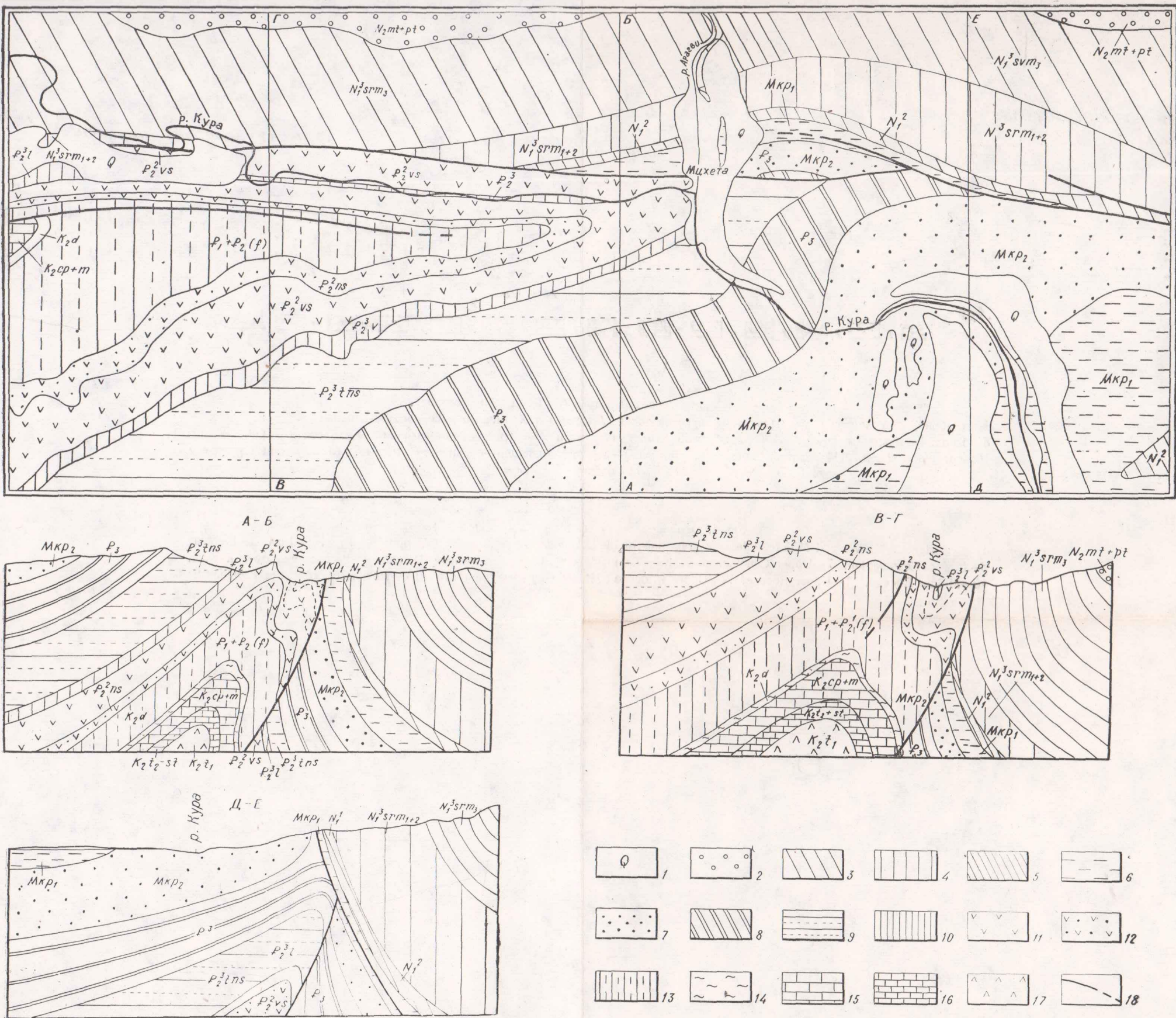


Рис. 5. Схема геологического строения окрестностей г. Мцхета (по Д. Ю. Папава).
 1—четвертичные отложения, 2—мэотис и понт, 3—верхний сармат, 4—средний и нижний сармат, 5—чокрак, караган, конк, 6—коцахурский горизонт (нижний миоцен), 7—сакараульский горизонт (нижний миоцен), 8—олигоцен, 9—верхний эоцен (тбилисская нуммулитовая свита), 10—верхний эоцен (лиролеписовый горизонт), 11—средний эоцен (верхняя туфобрешиевая серия), 12—средний эоцен (нижняя слоистая туфогенная серия), 13—палеоцен-нижний эоцен, 14—датский ярус, 15—кампан-маастрихт, 16—верхний турон, коньяк, сантон, 17—нижний турон, 18—разрывы.

Fig. 5. Geological sketch-map of the vicinity of Miskhetha (after D. J. Papava).
 1—Quaternary sediments, 2—Maeotian-Pontian, 3—Upper Sarmatian, 4—Middle and Lower Sarmatian, 5—Chokrakian, Karaganian—Konkian, 6—Kotsakhuri horizon (Lower Miocene), 7—Sakaraulsky horizon (Lower Miocene), 8—Oligocene, 9—Upper Eocene (Tbilisi Nummulitic suite), 10—Upper Eocene (Lyrolepis horizon), 11—Middle Eocene (upper tuff-breccia series), 12—Middle Eocene (lower stratified tuffogenic series), 13—Paleocene-Lower Eocene, 14—Danian stage, 15—Campanian-Maestrichtian, 16—Upper Turonian, Coniacian, Santonian, 17—Lower Turonian, 18—fractures.



Рис. 4. Геологический разрез (по П. Д. Гамкрелидзе).
 1—кембрий, 2—гранитоиды нижнего и среднего палеозоя Локского и Храмского массивов, 3—верхний палеозой, 4—лейас,
 5—байос, 6—нижний сеноман, 7—верхний сеноман-нижний кампан, 8—верхний кампан-даний, 9—палеоцен-нижний эоцен,
 10—средний эоцен, 11—верхний эоцен, 12—долериты—верхний плиоцен—среднечетвертичные, 13—глубинные разломы,
 14—надвиги и сбросы.

Fig. 4. Geological section (after P. D. Gamkrelidze).
 1—Cambrian, 2—Lower and Middle Paleozoic granitoids of the Loki and Khrami massifs, 3—Upper Paleozoic, 4—Lias, 5—Bajocian
 6—Lower Cenomanian, 7—Upper Cenomanian—Lower Campanian, 8—Upper Campanian—Danian, 9—Paleocene—Lower Eocene,
 10—Middle Eocene, 11—Upper Eocene, 12—Upper Pliocene—Middle Quaternary dolerites, 13—dee faults, 14—thrusts and faults.



Рис. 1. Схема тектонического строения Грузии (составил П. Д. Гамкрелидзе).
1—оси антиклиналей, 2—разрывы (сбросы и сдвиги), 3—взбросы и крутые надвиги, 4—пологие надвиги и тектонические покровы, 5—глубинные разломы: а—межзональные, в—внутризональные, с—трансзональные, 6—границы подзон и блоков, 7—кристаллическое ядро Большого Кавказа, 8—кристаллический субстрат Закавказского срединного массива, 9—гранитоиды батского возраста.

Fig. 1. Tectonic sketch-map of Georgia (compiled by P. D. Gamkrelidze)
1—anticlinal axes, 2—fractures (faults and shifts), 3—upthrusts and steep overthrusts, 4—low-angle overthrusts and tectonic nappes, 5—deep seated faults: a—interzonal, b—intrazonal, c—transzonal, 6—boundaries of subzones and blocks, 7—Great Caucasus crystalline core, 8—crystalline basement of Transcaucasian median mass, 9—Bathonian granitoids.

I	Антклинальный Главный Кавказский хребт	I ₁ Центральная зона воздымания (кристаллического ядра)
		I ₂ Восточная зона погружения
II	Складчатая система Южного склона Большого Кавказа	II ₁ Казбегско-Лагодехская зона
		II ₂ Местийско-тианетская зона (флишевая)
		II ₃ Чхалтинско-Лайлинская зона
		II ₄ Гагрско-Джавская зона
III	Грузинская глыба (межгорный прогиб)	III ₁ Западная, или Колхида (молассовая) зона погружения
		III ₂ Дзирульская зона поднятия
		III ₃ Восточная, или Карталинская (молассовая) зона погружения
		III ₄ Окрибско-Хреитская зона
IV	Аджаро-Триалетская складчатая зона	IV ₁ Северная подзона
		IV ₂ Центральная подзона
		IV ₃ Южная подзона
V	Артвино-Болниская глыба	V ₁ Джавахетская зона
		V ₂ Болниская зона
VI	Локско-Карабахская слабоскладчатая зона	VI ₁ Локское поднятие
		VI ₂ Гектапинская подзона

I	Anticlinorium of the Main Range of the Caucasus	I ₁ Zone of central uplift (crystalline core)
		I ₁ Zone of eastern subsidence
II	Folded system of the southern slope of the Great Caucasus	II ₁ Kazbegi-Lagodekhi zone
		II ₂ Mestia-Thianethi zone (flysch zone)
		II ₃ Tshkhaltha-Laila zone
		II ₄ Gagra-Djava zone
III	Georgian Block (Intermontane trough)	III ₁ Western or Colchida (Molassic) zone of subsidence
		III ₂ Dzirula zone of uplift
		III ₃ Eastern or Kartaliniyan (molassic) zone of subsidence
		III ₄ Okriba-Kreithi zone
IV	Adjara-Thrialethian folded zone	IV ₁ Northern subzone
		IV ₂ Central subzone
		IV ₃ Southern subzone
		IV ₄ Adjaristskali sector
V	Arthvin-Bolnisi block	IV ₅ Akhaltsikhe sector
		IV ₆ Aspindza-Tbilisi sector
		IV ₇ Sarthishala sector
		V ₁ Vardzia block
VI	Loki - Kara-gently folded zone	V ₂ Akhalkalaki block
		V ₃ Samsari block
		V ₄ Djudjiani block
		V ₅ Khamri block

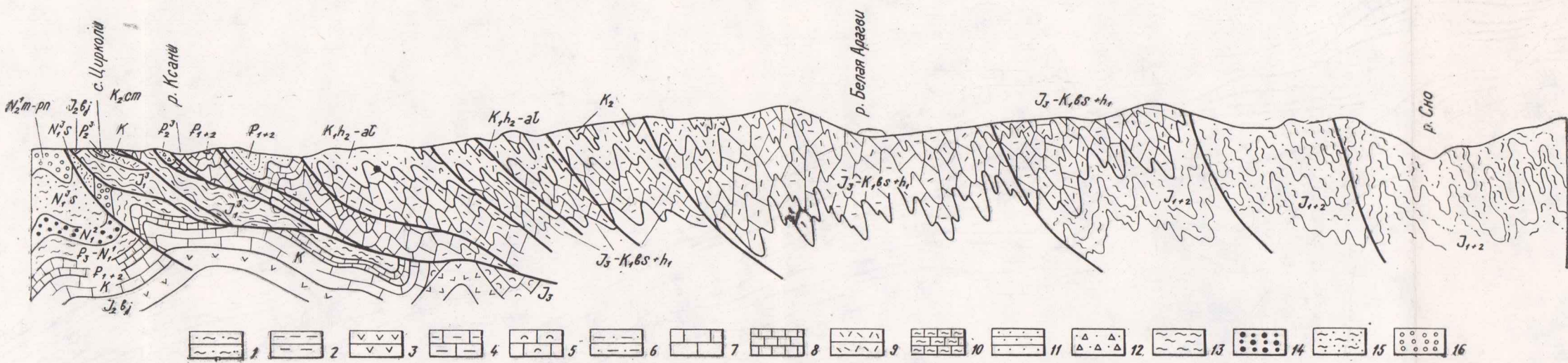


Рис. 1а. Геологический разрез (по И. П. Гамкрелидзе и З. А. Кокрашвили).

1—нижняя и средняя юра (аспидная формация), 2—верхний лейас (сорская свита), 3—байос (порфиритовая свита), 4—верхняя юра-нижний мел (берриас-нижний готерив)—карбонатный флиш, 5—верхняя юра (рифовые известняки), 6—нижний мел (верхний готерив-альб)—терригенный флиш, 7—мел (субплатформенная фация), 8—верхний мел (карбонатный флиш), 9—верхний мел (сеноман)—вулканогенная фация, 10—палеоцен-эоцен (субплатформенная фация), 11—палеоцен-эоцен (терригенный флиш), 12—верхний эоцен (дикий флиш), 13—олигоцен-нижний миоцен (нижняя моласса), 14—средний миоцен (нижняя моласса), 15—сармат (верхняя моласса), 16—мэотис-понт (верхняя моласса).

Fig. 1a. Geological section (after I. P. Camkrelidze and Z. A. Kokrashvili).

1—Lower and Middle Jurassic (slate formation), 2—Upper Lias (Sori suite), 3—Bajocian (porphyritic suite), 4—Berriassian—Lower Hauterivian (Carbonate flysch), 5—Upper Jurassic (reef limestones), 6—Upper Hauterivian—Albian (terrigenic flysch), 7—Cretaceous (subplatform facies), 8—Upper Cretaceous (carbonate flysch), 9—Cenomanian (volcanic facies), 10—Paleocene-Eocene (subplatform facies), 11—Paleocene-Eocene (terrigenic flysch), 12—Upper Eocene (wild flysch), 13—Oligocene—Lower Miocene (Lower molassa), 15—Sarmatian (Upper molassa), 16—Maeotian-Pontian (Upper molassa).

1916